



F429 2ºsem 2019

Experimento 3 - Relatório

Declaração de Honestidade Acadêmica

Os autores deste relatório declaram conhecer o regulamento da UNICAMP (definido no Regimento Geral da UNICAMP, Título X, artigo 227, parágrafo VII) e da disciplina no que tange o recurso a meios fraudulentos com o propósito de lograr aprovação na disciplina. Em F429, a desonestidade acadêmica é considerada fraude. A desonestidade acadêmica inclui, dentre outros, a cola em provas e exame final, o plágio em relatórios, a falsificação e a fabricação de dados experimentais.

Nome: Daniel Mendes dos Santos	RA:214752	Turma:H
Nome: Gabriel de Freitas Garcia	RA:216179	Turma:H
Nome: Giovana Kerche Bonás	RA:216832	Turma:H
Nome: Kaio Ken - ichi de Carvalho Takuma	RA:219510	Turma:H

1. Filtros Passa-baixa e Passa-Alta

Neste experimento, investigamos como circuitos RC modificam sinais oscilantes e podem representar filtros passa baixa ou passa alta, dependendo de como estão dispostos. Em um primeiro momento, investigamos como amplitude e a fase de ondas senoidais são modificadas e comparamos com o modelo teórico de maneira quantitativa. Em um segundo momento, investigamos a capacidade destes circuitos operarem como circuitos integradores e diferenciadores. Para atingir nossos objetivos, utilizamos as montagens experimentais:

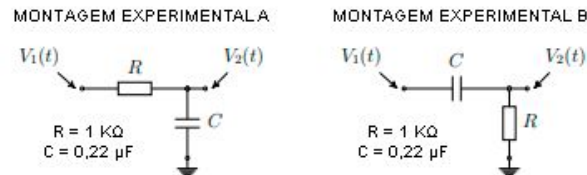


Figura 1. Montagem Experimental

Na primeira parte, por meio do osciloscópio e do gerador de função, cuja tensão de entrada se encontrava na forma senoidal, começamos realizando a montagem A, por meio do resistor e capacitor, em questão de $(1,00 \pm 0,02) \text{ k}\Omega$ e $(0,22 \pm 0,01) \mu\text{F}$ respectivamente.

Medimos então a tensão de saída em cima do resistor, e fizemos a análise gráfica experimental para vários conjuntos de pontos decorrentes da varredura (5 pontos, 10 pontos, 15 pontos, 20 pontos e 25 pontos), com as frequências variando de 10Hz a 1KHz por meio do pylab presente no notebook do laboratório, obtendo gráficos de Transmitância X frequência e Fase do sinal x frequência. Os gráficos são mostrados logo abaixo:



Figura 2. Gráfico de varreduras

Para uma melhor análise sobre o modelo começamos calculando a frequência de corte de nossas montagens, para isso, analisamos as incertezas experimentais e os valores de componentes que utilizamos. Incertezas: Incerteza do osciloscópio é dada pela expressão: **3% do módulo da leitura + 10% da tensão de uma divisão + 1 mV**. (Dados referente ao manual do Osciloscópio); Incerteza da frequência de Corte: $u_f^2 = \left(\frac{1}{2\pi R^2 C} \cdot u_R \right)^2 + \left(\frac{1}{2\pi R C^2} \cdot u_C \right)^2$; Incerteza da resistência: medida com multímetro e Incerteza do capacitor: Tolerância do capacitor.

Resistência	Capacitância	Frequência de Corte
$(1,000 \pm 0,002) \text{ k}\Omega$	$(0,22 \pm 0,01) \mu\text{F}$	$(723 \pm 20) \text{ HZ}$

Tabela 1: Valores dos componentes com respectivas incertezas

Podemos observar, que para varreduras cuja quantidade de pontos são reduzidas ou inferior a 20 pontos notamos uma menor precisão na coleta de informação, o que aumenta a incerteza referente a coleta de dados experimentais, dessa forma para melhor a precisão na coleta de dados vamos considerar para análise somente os dados de varredura com 25 pontos.

Analisando a varredura de 25 pontos, podemos observar que para frequências superiores em módulo à frequência de corte $f_c = 723 \pm 20 \text{ Hz}$ (Cujas qual suas propriedades já foram abordadas no experimento passado), notamos uma atenuação gradativa referente a fase, o que ocorre de forma semelhante em referência à amplitude. Ambas as análises em relação a amplitude e fase em função da tensão de entrada e da frequência são características dos circuitos conhecidos como passa-baixo, o que nos permite sugerir uma coerência experimental e teórica com o circuito montado. Para a confirmação quantitativa do modelo teórico, plotamos o diagrama de Bode dos resultados experimentais e da curva teórica dada através das fórmulas:

$$TdB(\omega) = -10 \log_{10}(1 + \omega^2 R^2 C^2) \Rightarrow \text{fração da potência transmitida em função da frequência}$$

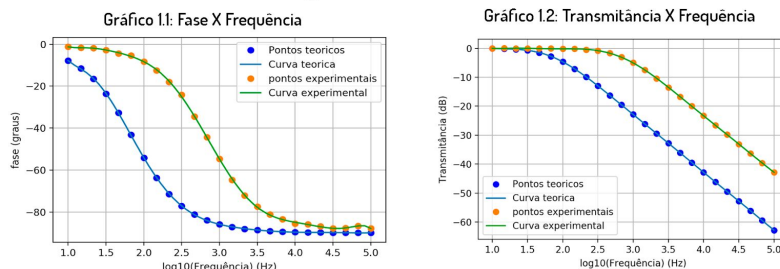
$$\mu_T = \sqrt{\left(\frac{\delta T}{\delta \omega}\right)^2 \mu_{\omega}^2 + \left(\frac{\delta T}{\delta R}\right)^2 \mu_R^2 + \left(\frac{\delta T}{\delta C}\right)^2 \mu_C^2} = \sqrt{\frac{400\omega^2 R^4 C^4 \mu_{\omega}^2}{\ln(10)^2 (1 + \omega^2 R^2 C^2)^2} + \frac{400\omega^4 R^2 C^4 \mu_R^2}{\ln(10)^2 (1 + \omega^2 R^2 C^2)^2} + \frac{400\omega^4 R^4 C^2 \mu_C^2}{\ln(10)^2 (1 + \omega^2 R^2 C^2)^2}}$$

⇒ Incerteza da Transmitância

$\Delta\phi(\omega) = \arctan(-\omega RC) \Rightarrow$ defasagem entre o sinal de entrada e de saída, onde $\omega = (2\pi f)$ e f é a frequência de oscilação do sinal senoidal.

$$\mu_\phi = \sqrt{\left(\frac{\delta\phi}{\delta\omega}\right)^2 \mu_\omega^2 + \left(\frac{\delta\phi}{\delta R}\right)^2 \mu_R^2 + \left(\frac{\delta\phi}{\delta C}\right)^2 \mu_C^2} = \sqrt{\frac{R^2 C^2 \mu_\omega^2}{(\omega^2 R^2 C^2 + 1)^2} + \frac{\omega^2 C^2 \mu_R^2}{(\omega^2 R^2 C^2 + 1)^2} + \frac{\omega^2 R^2 \mu_C^2}{(\omega^2 R^2 C^2 + 1)^2}} \Rightarrow \text{Incerteza da defasagem}$$

1. Diagrama de Bode Passa-Baixa



Gráficos 1. Varredura Passa-Baixa

Como podemos analisar pelos gráficos, dentro da incerteza experimental, as curvas foram muito semelhantes comprovando a coerência experimental com a teórica.

Repetimos o mesmo procedimento para a montagem B, trocando a posição do resistor e do capacitor, tendo em vista que agora medimos a tensão de saída em cima do capacitor, sendo dessa forma o circuito da montagem B um filtro RC passa Alto. Fizemos a varredura com 25 pontos para fazer uma análise quantitativa se o modelo teórico e o experimental estariam condizentes, dessa forma notamos por meio da análise gráfica do passa-alto um crescimento progressivo em relação à fase, e uma atenuação inicial em relação amplitude para frequências inferiores à frequência de corte $f_c = 723 \pm 20$ Hz, o que nos permite sugerir uma coerência experimental e teórica com o circuito montado. Nessa situação há de se inverter o comportamento da fase, tal que com o aumento da frequência a fase deve diminuir para quando há a diminuição da defasagem. Para a confirmação quantitativa do modelo teórico, plotamos o diagrama de Bode dos resultados experimentais e da curva teórica dada através das fórmulas:

$$TdB(\omega) = -10 \log_{10}\left(\frac{\omega^2 R^2 C^2}{1 + \omega^2 R^2 C^2}\right) \Rightarrow \text{fração da potência transmitida em função da frequência}$$

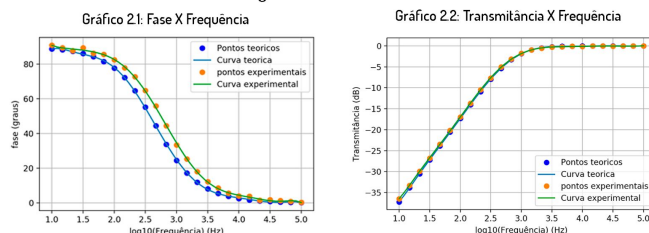
$$\mu_T = \sqrt{\left(\frac{\delta T}{\delta\omega}\right)^2 \mu_\omega^2 + \left(\frac{\delta T}{\delta R}\right)^2 \mu_R^2 + \left(\frac{\delta T}{\delta C}\right)^2 \mu_C^2} = \sqrt{\frac{4\mu_\omega^2}{\ln(10)^2 \omega^2 (1 + \omega^2 R^2 C^2)^2} + \frac{4\mu_R^2}{\ln(10)^2 R^2 (1 + \omega^2 R^2 C^2)^2} + \frac{4\mu_C^2}{\ln(10)^2 C^2 (1 + \omega^2 R^2 C^2)^2}}$$

⇒ Incerteza da Transmitância e

$\Delta\phi(\omega) = \arctan\left(-\frac{1}{\omega RC}\right) \Rightarrow$ defasagem entre o sinal de entrada e de saída, onde $\omega = (2\pi f)$ e f é a frequência de oscilação do sinal senoidal.

$$\mu_\phi = \sqrt{\left(\frac{\delta\phi}{\delta\omega}\right)^2 \mu_\omega^2 + \left(\frac{\delta\phi}{\delta R}\right)^2 \mu_R^2 + \left(\frac{\delta\phi}{\delta C}\right)^2 \mu_C^2} = \sqrt{\frac{R^2 C^2 \mu_\omega^2}{(1 + \omega^2 R^2 C^2)^2} + \frac{\omega^2 C^2 \mu_R^2}{(1 + \omega^2 R^2 C^2)^2} + \frac{\omega^2 R^2 \mu_C^2}{(1 + \omega^2 R^2 C^2)^2}} \Rightarrow \text{Incerteza da defasagem}$$

2. Diagrama de Bode Passa-Alta



Gráficos 2. Varredura Passa-Alta

2. Derivador e Integrador

Para a segunda parte do experimento, repetimos a montagem A e vimos como o circuito se comportou, variando as formas de onda de entrada e observando a forma de onda de saída e também, analisamos se esse comportamento se repetia em outras frequências. No caso, percebemos que o circuito passa-baixa se aproximou de um comportamento de um circuito integrador em frequências superiores à frequência de corte e se comportou realmente como integrador em frequências ainda mais altas, aproximadamente em frequências superiores a $10 * f_c$. Notamos esse comportamento devido à

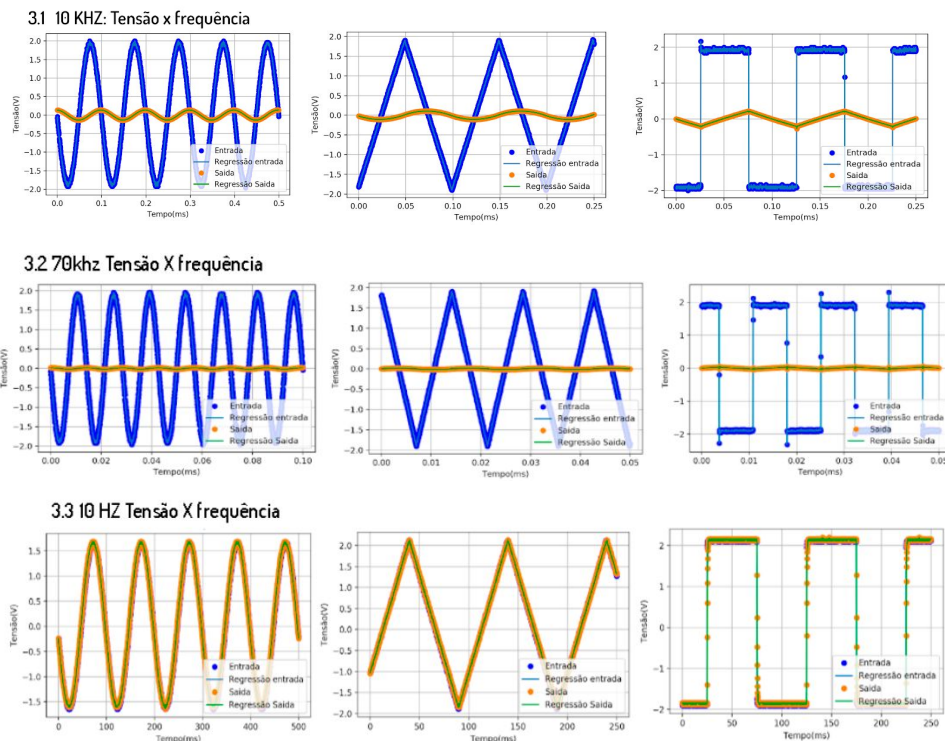
tensão de saída, que se apresentou proporcional à taxa de variação no tempo do sinal de entrada. Para a tensão de entrada seno, por exemplo, na frequência de 70kHz, a defasagem de fase indicada no osciloscópio do canal 1 para o canal 2 era de aproximadamente 90°, o que indicou que a tensão de saída representou a função cosseno que é a derivada da entrada.

Já para o passa-alta, percebemos que se aproximou de um comportamento de um circuito derivador em frequências inferiores à frequência de corte e se comportou realmente como derivador em frequências ainda mais baixas, aproximadamente em frequências inferiores a $10 * f_c$. Notamos esse comportamento devido a tensão de saída, que se apresentou como a área do sinal de entrada. Para a tensão de entrada seno, por exemplo, para a frequência de 7 kHz indicou que a tensão de saída representada a função -cosseno que é a integral da entrada.

Esse comportamento do passa baixa (integrador) e do passa alta (derivador) se mostraram presentes nas frequências que eles atenuavam, ficando mais claro quando variamos as formas de onda de entrada, na tabela 2 e 3 está de forma resumida as alterações percebidas experimentalmente e confirmadas por derivadas e integrais conhecidas.

Em resumo, os resultados e os procedimentos experimentais foram de suma importância pois possibilitaram a observação de circuitos RLC como filtros e a familiarização com a plotagem de gráficos na linguagem python. Através do diagrama de Bode conseguimos perceber que havia uma coerência experimental com a prevista em teoria, através das fórmulas presentes no relatório. Também foi possível observar que o circuito passa baixa em altas frequência apresenta o comportamento de um circuito integrador e em baixas frequências a tensão de saída era semelhante a tensão de entrada, já no caso do circuito passa alta, foi apresentado um comportamento de um circuito derivador em baixas frequências, e em altas frequências a tensão de saída era semelhante a de entrada.

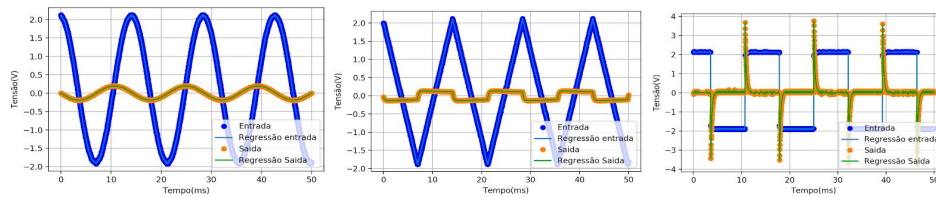
3.Tensão de entrada e tensão de saída passa-baixa



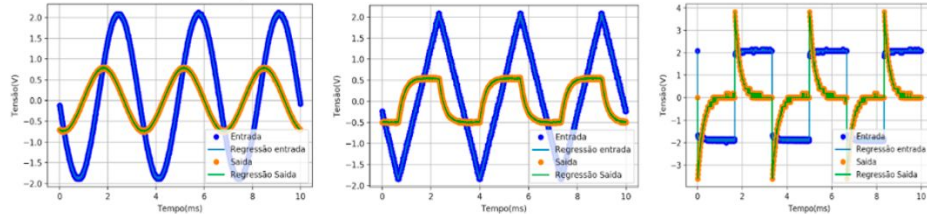
Gráficos 3.1, 3.2, 3.3. Integrador

4.Tensão de entrada e tensão de saída passa-alta

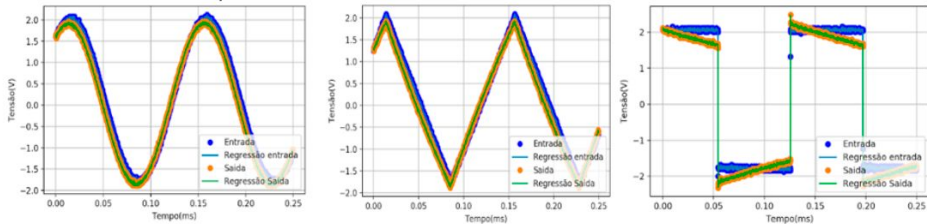
4.1 70 HZ: Tensão x frequência



4.2 300 HZ: Tensão X frequência



4.3 7 KHZ: Tensão X frequência



Gráficos 4.1, 4.2, 4.2, 4.3 Derivador

Tipo de Entrada	Frequência	Tipo de Saída
Seno	(10 ± 3) kHz, (20 ± 6) kHz, (35 ± 1) kHz, (70 ± 2) kHz	Cosseno
Square(Quadrada)	(10 ± 3) kHz, (20 ± 6) kHz, (35 ± 1) kHz, (70 ± 2) kHz	Ramp (triangular)
Ramp (triangular)**	(10 ± 3) kHz, (20 ± 6) kHz, (35 ± 1) kHz, (70 ± 2) kHz	Ramp (triangular)
Ramp (triangular)	(10 ± 3) kHz, (20 ± 6) kHz, (35 ± 1) kHz, (70 ± 2) kHz	Curva/Parábola

Tabela 2: RC passo - baixo (Derivador)

Tipo de Entrada	Frequência	Tipo de Saída
Seno	70 ± 2 Hz, 100 ± 3 Hz, 300 ± 9 Hz	Cosseno
Seno	70 ± 2 Hz, 100 ± 3 Hz, 300 ± 9 Hz	Seno
Square(Quadrada)	70 ± 2 Hz, 100 ± 3 Hz, 300 ± 9 Hz	Ramp (triangular)
Square(Quadrada)**	70 ± 2 Hz, 100 ± 3 Hz, 300 ± 9 Hz	Retas
Square(Quadrada) *	70 ± 2 Hz, 100 ± 3 Hz, 300 ± 9 Hz	Retas com descontinuidade
Ramp (triangular)**	70 ± 2 Hz, 100 ± 3 Hz, 300 ± 9 Hz	Ramp (triangular)

Tabela 3: RC passo-Alto (Integrador)

** ou * em alguns pontos